

# Experimentos con las ecuaciones de aguas poco profundas (SWE)

Reto Reynal, Juan

ESTRUCTURA DE LA MATERIA 1 - DEPARTAMENTO DE FÍSICA - FCEYN, UBA

PROFESOR: FERNANDO MINOTTI

## 1. Modelo matemático: Ecuaciones de aguas poco profundas

Las ecuaciones de aguas poco profundas en 2D, en inglés: *shallow water equations* (en adelante, SWE), son ecuaciones de conservación del volumen y del momento total en cada dirección, en particular de  $h$ ,  $uh$ ,  $vh$  respectivamente que, en forma de flujo, tienen las siguientes expresiones:

Ec. de Continuidad:

$$\frac{\partial h}{\partial t} + \frac{\partial(uh)}{\partial x} + \frac{\partial(vh)}{\partial y} = 0 \quad (1)$$

$$\frac{\partial uh}{\partial t} + \frac{\partial(u^2h + gh^2/2)}{\partial x} + \frac{\partial(uvh)}{\partial y} = h \left( fv - g \frac{\partial H}{\partial x} \right) \quad (2)$$

$$\frac{\partial vh}{\partial t} + \frac{\partial(uvh)}{\partial x} + \frac{\partial(v^2h + gh^2/2)}{\partial y} = h \left( -fu - g \frac{\partial H}{\partial y} \right) \quad (3)$$

donde  $\vec{u} = (u, v, 0)^t$  es el vector velocidad del viento,  $\vec{\Omega} = (0, 0, f)^t$  es la velocidad angular de rotación de la tierra de donde se desprende que  $f$  es el parámetro de Coriolis y  $g$  es el módulo de la aceleración gravitatoria terrestre. El parámetro de Coriolis es modelado a partir de una variación lineal en la coordenada  $y$  del tipo:  $f = f_0 + \beta(y - \bar{y})$ . Entonces  $f = f_0$  se encuentra en la mitad del dominio en la dirección de la coordenada  $y$ . El gradiente de presión fue puesto junto a las derivadas parciales espaciales del lado izquierdo (en adelante, LHS).

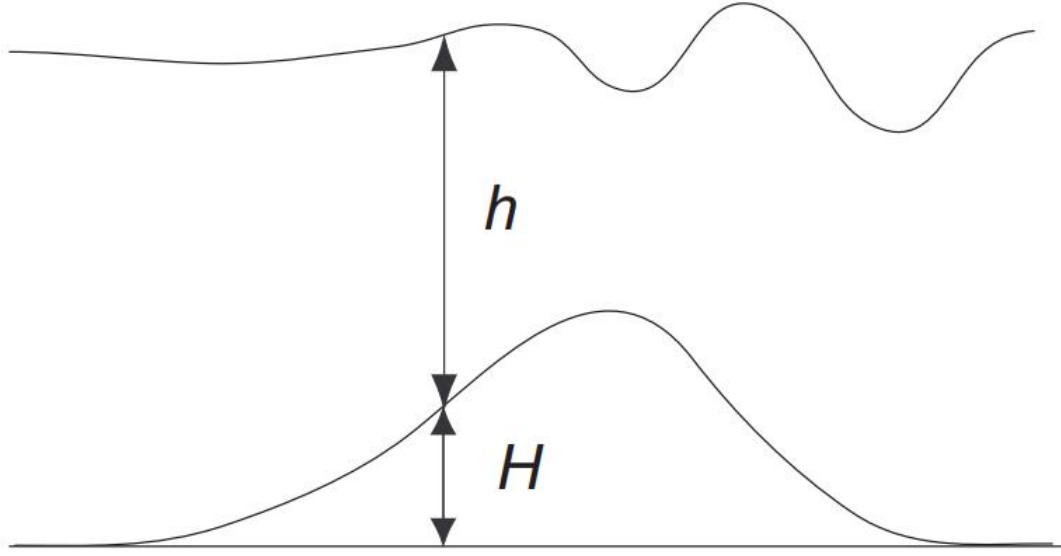


Fig. 1: Esquema del escenario modelado, donde  $h$  es la profundidad del fluido y  $H$  es la altura de la orografía.

## 2. Esquema numérico elegido: Lax-Wendroff

El esquema numérico elegido que va a ser integrado en el tiempo es el de Lax-Wendroff. Es un método de 2do orden tanto el tiempo como en el espacio pues el error de truncado es de orden  $\mathcal{O}(\Delta t^2 + \Delta x^2 + \Delta y^2)$ . En este sentido y además por su estabilidad, es una propuesta superadora al esquema de Lax-Friedrichs que es un método de 1er orden de exactitud.

A continuación se copia un cuadro con un resumen de las ecuaciones diferenciales del modelo a la izquierda (Ecs. de Continuidad, 2 y 3) y de las ecuaciones discretizadas con el esquema de Lax-Wendroff a la derecha (Ecs. 13, 14 y 15). Todas las derivaciones de las ecuaciones del cuadro se encuentran en los apéndices.

<div style="background-color: #0000FF; color: white; text-align: center; padding: 2px; margin-bottom: 10px;">Ec. de Continuidad:</div> <div style="background-color: #CCCCFF; padding: 10px; margin-bottom: 10px;"> <math display="block">\frac{\partial h}{\partial t} + \frac{\partial(uh)}{\partial x} + \frac{\partial(vh)}{\partial y} = 0</math> </div> <div style="background-color: #FFFFCC; padding: 10px; margin-bottom: 10px;"> <math display="block">\frac{\partial uh}{\partial t} + \frac{\partial(u^2h + gh^2/2)}{\partial x} + \frac{\partial(uvh)}{\partial y} = h \left( fv - g \frac{\partial H}{\partial x} \right)</math> </div> <div style="background-color: #FFFFCC; padding: 10px;"> <math display="block">\frac{\partial vh}{\partial t} + \frac{\partial(uvh)}{\partial x} + \frac{\partial(v^2h + gh^2/2)}{\partial y} = h \left( -fu - g \frac{\partial H}{\partial y} \right)</math> </div>	<div style="background-color: #CCCCFF; padding: 10px; margin-bottom: 10px;"> <math display="block">u_{i+\frac{1}{2},j}^{n+\frac{1}{2}} = \frac{1}{2}(u_{i+1,j}^n + u_{i,j}^n) - \frac{1}{2} \frac{c\Delta t}{\Delta x} (u_{i+1,j}^n - u_{i,j}^n)</math> </div> <div style="background-color: #CCCCFF; padding: 10px; margin-bottom: 10px;"> <math display="block">u_{i,j+\frac{1}{2}}^{n+\frac{1}{2}} = \frac{1}{2}(u_{i,j+1}^n + u_{i,j}^n) - \frac{1}{2} \frac{c\Delta t}{\Delta y} (u_{i,j+1}^n - u_{i,j}^n)</math> </div> <div style="background-color: #CCCCFF; padding: 10px; margin-bottom: 10px;"> <math display="block">u_{i,j}^{n+1} = u_{i,j}^n - c\Delta t \left[ \frac{u_{i+\frac{1}{2},j}^{n+\frac{1}{2}} - u_{i-\frac{1}{2},j}^{n+\frac{1}{2}}}{\Delta x} + \frac{u_{i,j+\frac{1}{2}}^{n+\frac{1}{2}} - u_{i,j-\frac{1}{2}}^{n+\frac{1}{2}}}{\Delta y} \right]</math> </div> <div style="background-color: #CCCCFF; padding: 10px;"> <math display="block">u_{i,j}^{n+1} = u_{i,j}^n - c\Delta t \left[ \frac{u_{i+\frac{1}{2},j}^{n+\frac{1}{2}} - u_{i-\frac{1}{2},j}^{n+\frac{1}{2}}}{\Delta x} + \frac{u_{i,j+\frac{1}{2}}^{n+\frac{1}{2}} - u_{i,j-\frac{1}{2}}^{n+\frac{1}{2}}}{\Delta y} \right] + S_{i,j}^{n+\frac{1}{2}} \Delta t</math> </div>
---	---

Fig. 2: Resumen de las ecuaciones diferenciales del modelo a la izquierda y de las ecuaciones discretizadas con el esquema de Lax-Wendroff a la derecha.

Si ahora hacemos los siguientes reemplazos para reexpresar convenientemente las ecuaciones diferenciales:

$$UH = uh$$

$$VH = vh$$

$$UX = hu^2 + gh^2/2$$

$$UY = uvh, \text{ en la ecuación del momento de } u$$

$$VX = uvh, \text{ en la ecuación del momento de } v$$

$$VY = hv^2 + \frac{1}{2}gh^2$$

$$SX = hf v - gh \frac{\partial H}{\partial x}$$

$$SY = -hf u - gh \frac{\partial H}{\partial y}$$

De esta manera las SWE quedan de la siguiente manera:

$$\frac{\partial UH}{\partial t} + \frac{\partial UX}{\partial x} + \frac{\partial UY}{\partial y} = SX \quad (4)$$

$$\frac{\partial VH}{\partial t} + \frac{\partial VX}{\partial x} + \frac{\partial VY}{\partial y} = SY \quad (5)$$

$$\frac{\partial h}{\partial t} + \frac{\partial UH}{\partial x} + \frac{\partial VH}{\partial y} = 0 \quad (6)$$

Finalmente, lo que hay que hacer es ahora discretizar estas ecuaciones con el esquema de Lax-Wendroff que tenemos ya resuelto para este tipo de ecuaciones. Por un lado, las de convección en 2D con un término fuente/sumidero, discretización dada por la Ec. 16, como es el caso de 4, 5 y por otro lado, la de 2D de convección común 6 cuya discretización viene dada por la Ec. 15.

A modo de ejemplo se muestra como queda discretizada con el esquema de Lax-Wendroff la solución para  $h$ :

$$h_{i,j}^{n+1} = h_{i,j}^n - \frac{\Delta t}{\Delta x} \left( UH_{i+\frac{1}{2},j}^{n+\frac{1}{2}} - UH_{i-\frac{1}{2},j}^{n+\frac{1}{2}} \right) - \frac{\Delta t}{\Delta y} \left( VH_{i,j+\frac{1}{2}}^{n+\frac{1}{2}} - VH_{i,j-\frac{1}{2}}^{n+\frac{1}{2}} \right)$$

### 3. Experimentos

#### 3.1.

## 4. Apéndice A: Derivaciones de las ecuaciones

### 4.1. Ecuación de Continuidad

La ecuación de continuidad si la densidad  $\rho$  es constante implica que la divergencia del campo de velocidades debe ser nula:

$$\frac{\partial \rho}{\partial t} = 0 \Rightarrow \vec{\nabla} \cdot \vec{u} = 0$$

Sea  $\vec{u} = (u, v, w)^t$ , entonces:

$$\frac{\partial u}{\partial x} + \frac{\partial v}{\partial y} + \frac{\partial w}{\partial z} = 0$$

En este modelo se considera únicamente el flujo en 2 dimensiones. Sin embargo, existe una 3era dimensión que es la altura/profundidad del fluido  $h$ . Se asume que el movimiento vertical es el mismo a través de toda la profundidad del fluido por lo que se puede integrar

la ecuación de continuidad en la coordenada  $z$  entre  $H$  y  $h + H$ :

$$\int_H^{h+H} \frac{\partial u}{\partial x} dz + \int_H^{h+H} \frac{\partial v}{\partial y} dz + \int_H^{h+H} \frac{\partial w}{\partial z} dz = 0 \quad (7)$$

Para los primeros dos términos se aplica una técnica llamada en inglés *differentiation under the integral sign* (Regla integral de Leibniz):

$$\int_H^{H+h(x,y)} \frac{\partial u}{\partial x} dz = \frac{\partial}{\partial x} \left( \int_H^{H+h(x,y)} u dz \right) - u(x, y) \frac{\partial h}{\partial x}$$

Al evaluar la 3era integral de 7, queda  $w(h + H) - w(H)$  y como  $w(H) = 0$ , esto es igual a la derivada total de  $h$  respecto del tiempo,  $\frac{dh}{dt} = \frac{\partial h}{\partial t} + u \frac{\partial h}{\partial x} + v \frac{\partial h}{\partial y}$ . Entonces se recupera la ecuación de continuidad que es resuelta en el modelo de las SWE:

Ec. de Continuidad:

$$\frac{\partial h}{\partial t} + \frac{\partial(uh)}{\partial x} + \frac{\partial(vh)}{\partial y} = 0$$

## 4.2. Ecuación para la presión

Se asume que el fluido está en condiciones de un balance hidrostático:

$$\frac{\partial P}{\partial z} = -\rho g$$

con  $\rho$  constante.

La ecuación hidrostática con densidad constante implica que podemos describir la presión en función de la altura  $z$ :

$$P(z) = -\rho g(z - H) + P_s(x, y, t)$$

donde  $H$  es la altura de la orografía, es decir la altura de la superficie sólida sobre la que se apoya el fluido como por ejemplo las montañas. Imponiendo la condición de contorno  $P(z = h + H) = 0$  se determina  $P_s$ :

$$P(z) = -\rho g(z - (H + h)) \quad (8)$$

#### 4.2.1. Ecuaciones de Navier-Stokes en 2D

Las ecuaciones de Navier-Stokes en 2D son las ecuaciones no conservativas del momento en el plano x-y:

$$\frac{\partial u}{\partial t} + u \frac{\partial u}{\partial x} + v \frac{\partial u}{\partial y} = f v - \frac{1}{\rho} \frac{\partial P}{\partial x} \quad (9)$$

$$\frac{\partial v}{\partial t} + u \frac{\partial v}{\partial x} + v \frac{\partial v}{\partial y} = -f u - \frac{1}{\rho} \frac{\partial P}{\partial y} \quad (10)$$

Se observa que las Ecs. 9 y 10 contienen varios términos no lineales, que no pueden ser discretizados fácilmente con algún esquema numérico.

Si se utiliza la Ec. 8 se obtiene que el RHS de las Ecs. 9 y 10 puede ser reemplazado por:

$$-\frac{1}{\rho} \frac{\partial P}{\partial x} = -g \frac{\partial(h + H)}{\partial x}$$

$$-\frac{1}{\rho} \frac{\partial P}{\partial y} = -g \frac{\partial(h + H)}{\partial y}$$

Para obtener las Ecs. 2 y 3, utilizamos las ecuaciones no conservativas del momento horizontal 9 y 10 junto a la ecuación de continuidad para derivar las ecuaciones conservativas del momento horizontal.

En primer lugar se multiplica por  $h$  a las Ecs. 9 y 10:

$$h \frac{\partial u}{\partial t} + hu \frac{\partial u}{\partial x} + hv \frac{\partial u}{\partial y} = fhv - hg \frac{\partial(h + H)}{\partial x} \quad (11)$$

$$h \frac{\partial v}{\partial t} + hu \frac{\partial v}{\partial x} + hv \frac{\partial v}{\partial y} = -fhu - hg \frac{\partial(h + H)}{\partial y} \quad (12)$$

Luego se suma el producto de  $u$  y la ecuación de continuidad a la Ec. 11 por un lado y por el otro lado se suma el producto de  $v$  y la ecuación de continuidad a la Ec. 12. Para el

caso de  $u$  esto resulta:

$$h \frac{\partial u}{\partial t} + u \frac{\partial h}{\partial t} + u \frac{\partial(hu)}{\partial x} + u \frac{\partial(hv)}{\partial y} + hu \frac{\partial u}{\partial x} + hv \frac{\partial u}{\partial y} = fhv - hg \frac{\partial(h+H)}{\partial x}$$

Usando la regla de la derivada del producto se obtienen las ecuaciones de conservación del momento de las SWE, Ecs. 2 y 3:

$$\frac{\partial uh}{\partial t} + \frac{\partial(u^2h + gh^2/2)}{\partial x} + \frac{\partial(uvh)}{\partial y} = h \left( fv - g \frac{\partial H}{\partial x} \right)$$

$$\frac{\partial vh}{\partial t} + \frac{\partial(uvh)}{\partial x} + \frac{\partial(v^2h + gh^2/2)}{\partial y} = h \left( -fu - g \frac{\partial H}{\partial y} \right)$$

## 5. Apéndice B: Derivación del esquema numérico de Lax-Wendroff

Consideremos la ecuación 1D de convección:

$$\frac{\partial u}{\partial t} + c \frac{\partial u}{\partial x} = 0$$

La receta para obtener el esquema de Lax-Wendroff es:

1. Expansión de Taylor en el tiempo alrededor de  $u_i^n$  y nos quedamos hasta  $\mathcal{O}(\Delta t^2)$ .
2. Se deriva respecto del tiempo la ecuación 1D de convección  $u_t + cu_x$ , resultando  $u_{tt} = -c(u_t)_x$ . En esta última expresión se reemplaza la ecuación 1D de convección obteniéndose  $u_{tt} = c^2 u_{xx} \rightarrow$  se lo reemplaza en la expansión de Taylor del paso 1.
3. Se discretizan las derivadas espaciales utilizando diferencias centradas.

De esta forma se obtiene el esquema de Lax-Wendroff:

$$u(x_i, t_{n+1}) = u_i^{n+1} = u_i^n - \frac{c\Delta t}{2\Delta x}(u_{i+1}^n - u_{i-1}^n) + \frac{c^2\Delta t^2}{2\Delta x^2}(u_{i+1}^n - 2u_i^n + u_{i-1}^n)$$

El error de truncado es de orden  $\mathcal{O}(\Delta t^2 + \Delta x^2)$  por lo que se dice que el método tiene una exactitud de 2do orden.

Al mismo tiempo, este método puede ser modificado a uno de dos pasos en donde cada paso individual está centrado tanto en el tiempo como en el espacio:

Paso 1 - Lax-Friedrichs

$$\frac{u_{i+\frac{1}{2}}^{n+\frac{1}{2}} - \frac{1}{2}(u_{i+1}^n + u_i^n)}{\frac{1}{2}\Delta t} = -c \left( \frac{u_{i+1}^n - u_i^n}{\Delta x} \right)$$

Paso 2 - Leapfrog

$$\frac{u_{i-\frac{1}{2}}^{n+\frac{1}{2}} - \frac{1}{2}(u_i^n + u_{i-1}^n)}{\frac{1}{2}\Delta t} = -c \left( \frac{u_i^n - u_{i-1}^n}{\Delta x} \right)$$

En el segundo paso,  $u_i^{n+1}$  sale de computar:

$$\frac{u_j^{n+1} - u_j^n}{\Delta t} = -c \left( \frac{u_{j+\frac{1}{2}}^{n+\frac{1}{2}} - u_{j-\frac{1}{2}}^{n+\frac{1}{2}}}{\Delta x} \right)$$

El stencil del esquema se muestra en la Fig. 3.



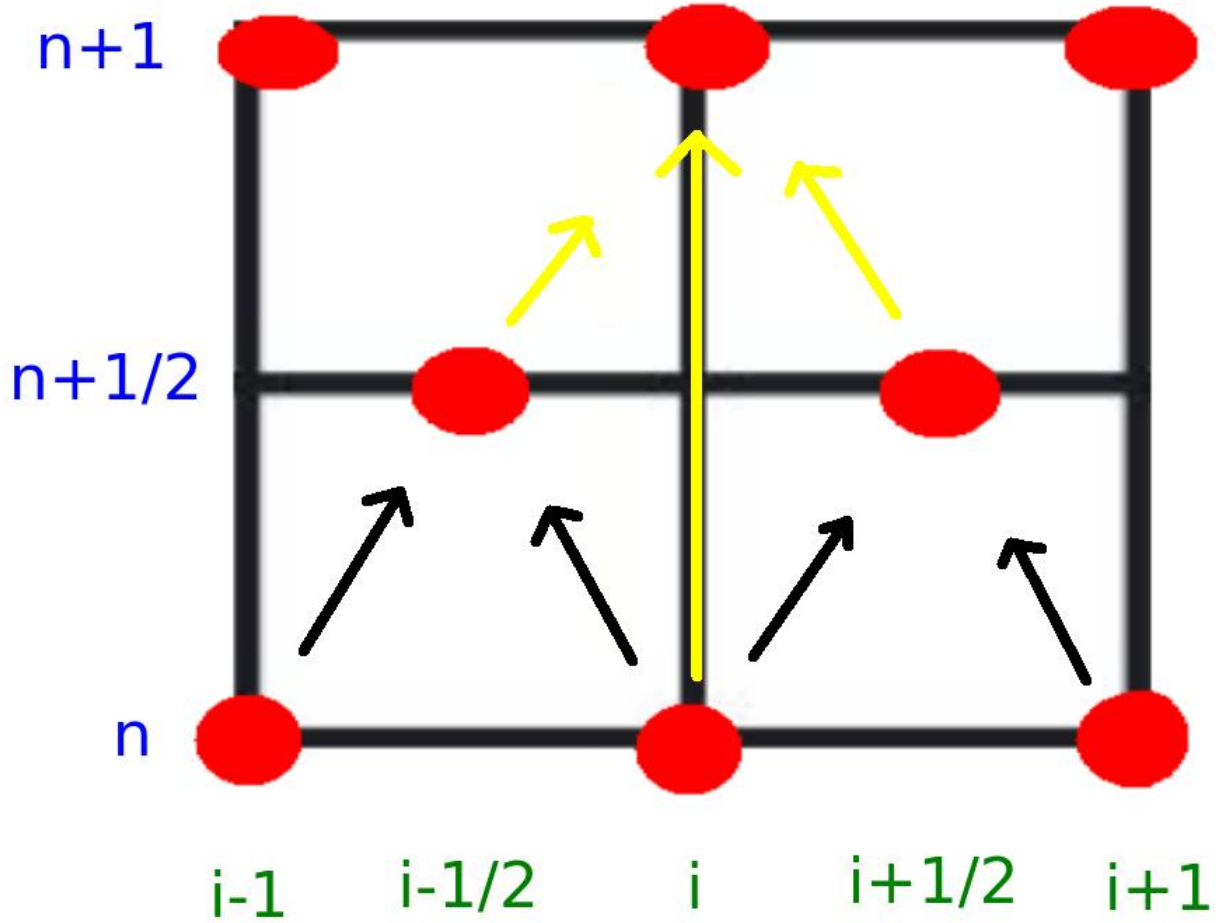


Fig. 3: Esquema numérico de Lax-Wendroff.

Si se extiende el esquema de dos pasos a 2D, para la ecuación de convección en 2D, se obtiene:

$$u_{i+\frac{1}{2},j}^{n+\frac{1}{2}} = \frac{1}{2}(u_{i+1,j}^n + u_{i,j}^n) - \frac{1}{2} \frac{c\Delta t}{\Delta x} (u_{i+1,j}^n - u_{i,j}^n) \quad (13)$$

$$u_{i,j+\frac{1}{2}}^{n+\frac{1}{2}} = \frac{1}{2}(u_{i,j+1}^n + u_{i,j}^n) - \frac{1}{2} \frac{c\Delta t}{\Delta y} (u_{i,j+1}^n - u_{i,j}^n) \quad (14)$$

$$u_{i,j}^{n+1} = u_{i,j}^n - c\Delta t \left[ \frac{u_{i+\frac{1}{2},j}^{n+\frac{1}{2}} - u_{i-\frac{1}{2},j}^{n+\frac{1}{2}}}{\Delta x} + \frac{u_{i,j+\frac{1}{2}}^{n+\frac{1}{2}} - u_{i,j-\frac{1}{2}}^{n+\frac{1}{2}}}{\Delta y} \right] \quad (15)$$

Si tenemos un término fuente / sumidero, sólo tiene que ser agregado en el RHS de la Ec. 15:

$$u_{i,j}^{n+1} = u_{i,j}^n - c\Delta t \left[ \frac{u_{i+\frac{1}{2},j}^{n+\frac{1}{2}} - u_{i-\frac{1}{2},j}^{n+\frac{1}{2}}}{\Delta x} + \frac{u_{i,j+\frac{1}{2}}^{n+\frac{1}{2}} - u_{i,j-\frac{1}{2}}^{n+\frac{1}{2}}}{\Delta y} \right] + S_{i,j}^{n+\frac{1}{2}} \Delta t \quad (16)$$